

Behaviour of Inconel Spacer Grid Spring subjected to Repeated Loading

*, , , , †

150

, 가

가 [1]

가 , 가 가
가 가 가
가 가 가

Abstract

Detail tests are carried out to examine the stiffness decrease phenomenon shown during the application of the repeated loading to the Inconel spacer grid spring [1]. The permanent set and stiffness decrease of the following cycle may be found during a conventional spring characterization test, those do not occur during the successive load cycle with the same displacement. However, if the displacement during the successive cycle exceeds that at the peak load, the additional permanent set and stiffness decrease appear. The shape of the spring deformation is investigated by analyzing the stresses as well as the localized yield zones through finite element method. It is shown that presently used method can explain the test result of the present research and be used as a tool for predicting the deformation shape of the spacer grid spring.

†

가

[1]

가

가 ()

가 ,
()

가

가

[1]

[2]

2.

2.1

[1]

가

1 (a) (b)

[1] 가 ,

1 (a) (b)

“ A” “ B”

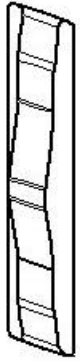
() 가

2

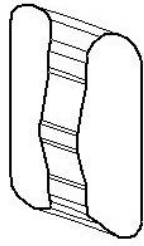
- 가

2.2

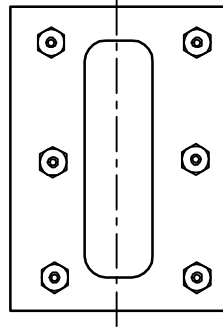
0.5 mm/ , 1 kN



(a)

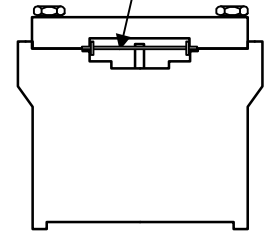


(b)



Top View

Spring Specimen



Side View

1.

(b) ; (a) A
B.

2.

[1]

가

가

5

A B

가

가 가

가

가

가

가

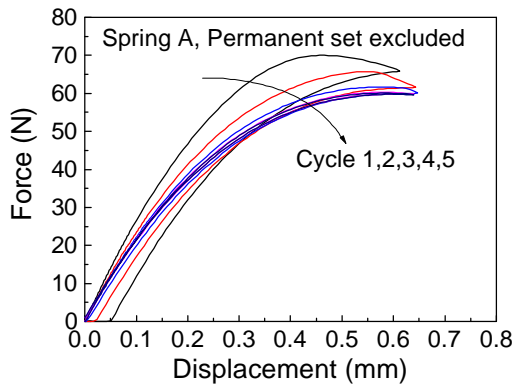
가

3.

3.1

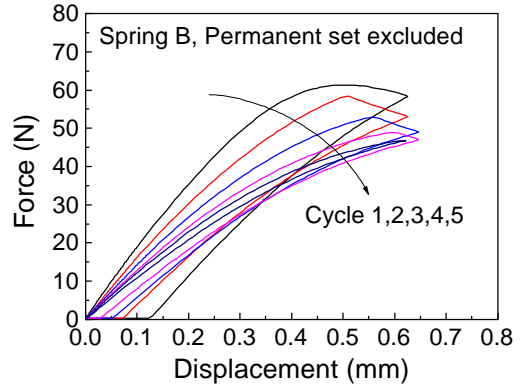
가

가 () 가 ([1] 1)



(a)

3.



(b)

A B

A B

(0.4 ~

0.5 mm)

0.65 mm

3(a) (b)

A B

5

3(a) (b)

가

0.65 mm

가

가

가

가

10 N

가

0

(

가

)

,

[1]

가

5

3(a) (b)

5

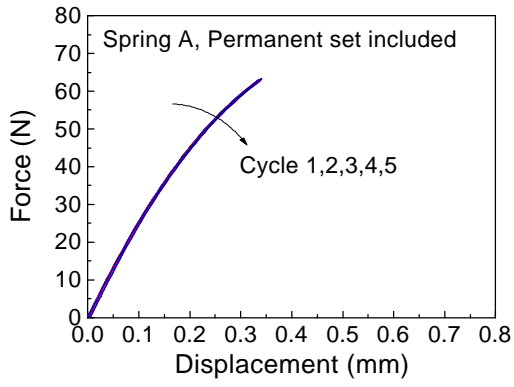
가

가

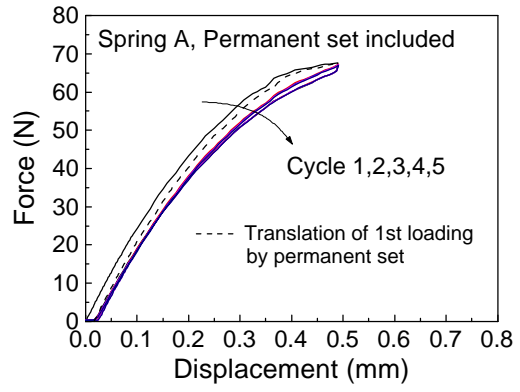
가

가

가



(a)



(b)

4.

A

; (a)

(b)

가

가

가

3(a) (b)

가

3.2

3.1

가

4

A

4(a)

4(b)

(4(a))

가

4(b))

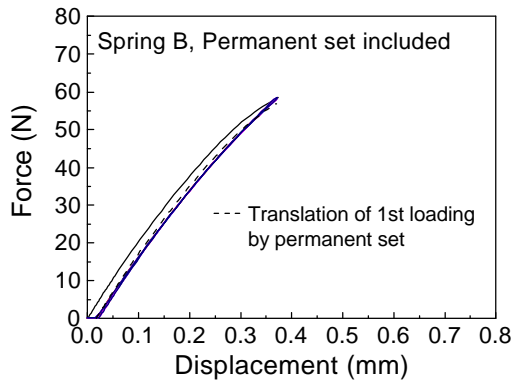
가

4(b)

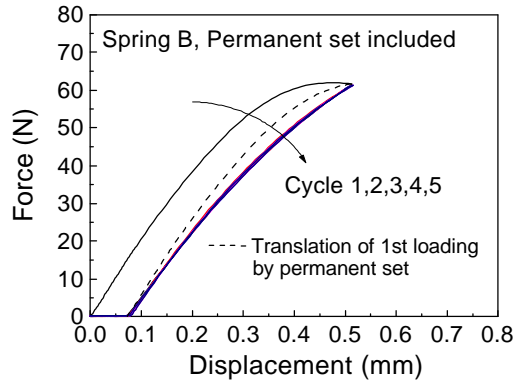
가

가

가



(a)



(b)

5.

B

; (a)

(b)

4

가

가
가

가

가

가

5

4

B

5(a)

5

가

5(b)

5(a)

4(a)

가

가

4(b)

가

4(a)

가

4(a)

A

B

(

)

B가

A

)

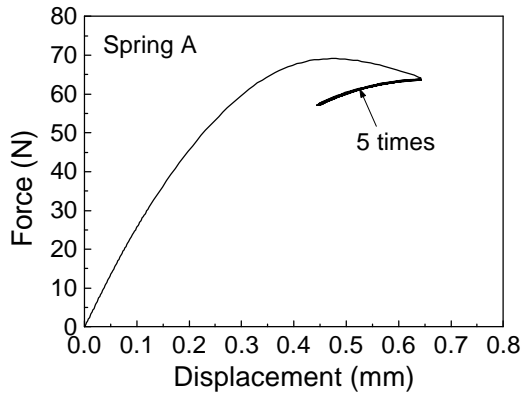
가

가

5(a)
 4.60%
 5(b) B
 가
 가
 가
 4(b) 5(a)
 5(a) 5(b)
 A B
 4(b) 5(b)
 가
 ()
 , 가) 가

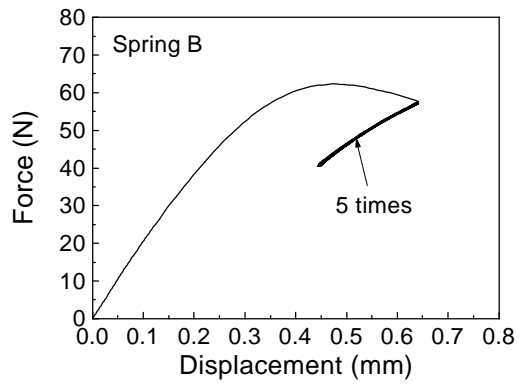
3.3

()
 가
 가 ()
 가
 6(a) (b) A B 0.65 mm 가 0.2 mm
 가 5
 0.2 mm
 0.2 mm 5 6(a) (b)
 가



(a)

6.



(b)

(: 0.2 mm).

4 5

(0.65 mm)

0.2 mm

가

가

6(a)

() 6(b)

가

A

B

가

6(a) (b)

가

가

4.

4.1

2

[1]

3

5

ABAQUS(version 5.8)[3]

718

199.5 GPa,

0.294

976.8 MPa

(hardening curve)

가

4 node

ABAQUS

S4R

[3]

가

가

가

[3]

4.2

가

4(b),

5(a)

(b)

가

가가

가

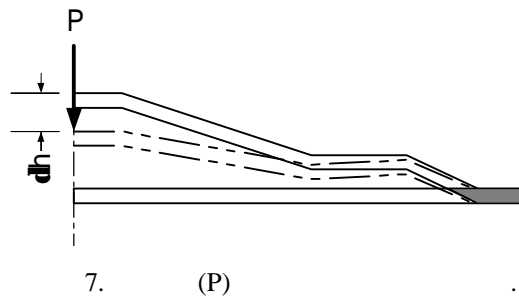
7

가

가

가

가



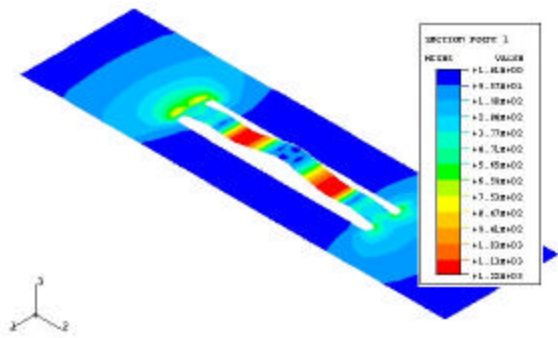
8(a) (b)

A

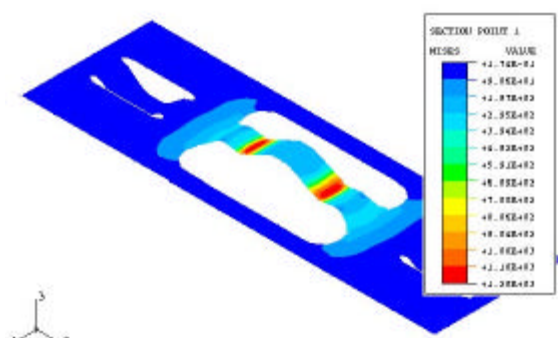
B

0.5 mm

Von Mises



(a)



(b)

8. (a) A (b) B (: 0.5 mm).

()

8(a) (b)

Von Mises

1220 MPa

1280 MPa

718

(976.8 MPa)

8(a)

(b)

B

가

A

가

B

4

5

가

9(a)

(b)

9(a)

(b)

A

B

0.1 mm

0.5 mm

가

()

()

0.1 mm

0.5 mm

9(a) (b)

0.1 mm

가

0.5 mm

,

,

가

가 0

($x/L \approx 0.4$)

가

8(a) (b)

()

가

B 가

A

가

B

가

4

5

가

9(a)

(b)

$x/L = 0$

3

가

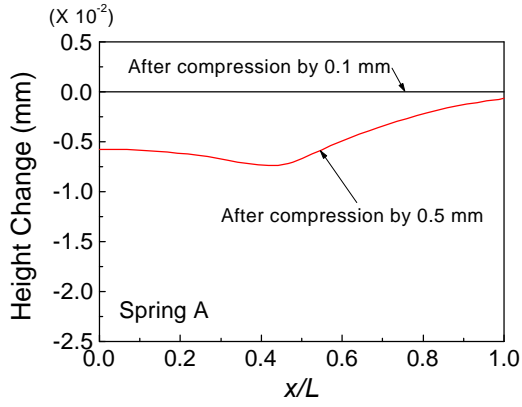
4(b) 5(b)

9(a)

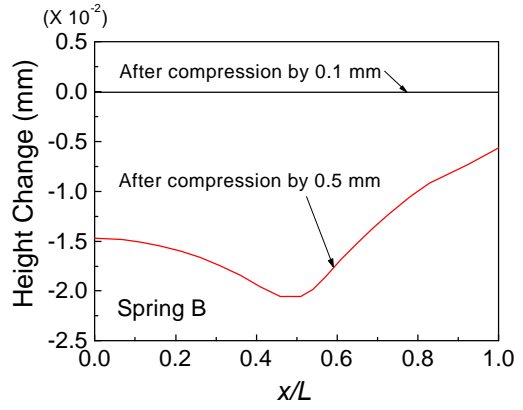
(b)

4(b)

5(b)



(a)



(b)

9.

A B

0.1 mm

0.5 mm

가

가

4.

[1]

가

가

가

가

가

가

가

가

